

# JURNAL SAINS DAN TEKNOLOGI FT UKI

• ELEKTRO • MESIN • ARSITEKTUR • SIPIL •



Perancangan, Uji dan Analisa Termal Pemanas Air Tenaga Surya dengan Kolektor Pelat Datar Terintegrasi

*Aji Totok Nurbiantoro*

---

Penerapan Logika Fuzzy pada Pengendalian Proses Pembersih Air dan Pengaturan Ketinggian serta Suhu Air

*M.M. Lanny W. Panjaitan*

---

Ekosentrisme : Suatu Pendekatan dalam Pengembangan Etika Lingkungan

*Mediana J.H. Uguy*

---

Solusi Persamaan Rotor dengan Metoda Kekakuan Dinamik

*Jusuf Anggono*

---

Formulasi Dinamika Getaran Bebas Elemen DKMQ-MI dengan Metoda Iterasi Subspace

*Thermanto DSS*

---

Prediksi Kapasitas Tarik Pondasi Tiang Pancang Berdasarkan Uji Pembebanan Tarik di Lapangan (Studi Kasus di Surabaya)

*Lolom Evalita Hutabarat*

---

Manfaat Arsitektur Bagi Masyarakat

*Bambang Erwin*

---

Profil Medina - Sebuah Kota Arab di Tunis

*Sri Pare Eni*

---

ISSN 0853-9723

---

Thn. XI No. 25, Mei 2001

E  
M  
A  
S

## SUSUNAN REDAKSI

**Pimpinan Umum/Penanggungjawab :**  
Dekan Fakultas Teknik UKI

**Anggota :**

Pembantu Dekan I, II, III FT UKI  
Ketua Jurusan Elektro, Mesin, Arsitektur,  
Sipil FT UKI

**Staf Ahli :**

Prof. Dr. Ing. K. Tunggul Sirait  
Prof. Dr. Ir. Sularso, MSME.  
Prof. Dr. Ir. H. M. Surjono S., MSF.  
Prof. Dipl. Ing. Suwondo B.S.  
Dr. Ir. Wibowo Paryatmo, MSc.  
Dr. Ing. Ir. Uras Siahaan, lic. rer. reg.  
Atmonobudi Soebagio, Ph.D., MSE.

**Redaktur Pelaksana :**

**Pimpinan Redaksi :**  
Ir. S.M. Doloksaribu, M. Ing.

**Sekretaris Redaksi :**  
Ir. Ika Bali, M. Eng.

**Anggota Redaksi :**  
Dr. Ir. Charles O.P. Marpaung, MS.  
Ir. Erikson Samosir, MT.  
Ir. Mediana Uguy, M.Si.  
Ir. Lolom Evalita Hutabarat, MT.

**Sekretaris :**  
Floura Latumeten, SH.  
Kemo Suharsoyo

**Korespondensi :**  
Sekretaris/Ka. Lab./Studio Jurusan Elektro,  
Mesin, Arsitektur, dan Sipil FT UKI

**Alamat Redaksi :**  
Fakultas Teknik UKI  
Jl. Mayjen Sutoyo, Cawang,  
Jakarta 13630  
Telepon : (021) 809 2425  
Fax : 809 3948

**Nama Rekening :**  
Bank INA No. Rek : 70619.44001.81

**ISSN :** 0853 - 9723

**TERBIT EMPAT KALI SETAHUN**

## EDITORIAL

Pembaca yang budiman,

Kami kembali hadir di tengah-tengah pembaca melalui Edisi No. 24 ini.

Edisi ini kami persiapkan sambil mempersiapkan dan menunggu hasil akreditasi jurnal ini. Kami berharap akan ada peningkatan melalui proses akreditasi yang kami ikuti.

Edisi ini memuat 8 (delapan) tulisan masing-masing 1 (satu) mengenai peraturan masyarakat kota; 1 (satu) mengenai dunia arsitektur; 2 (dua) mengenai uji beban pada struktur beton dan pondasi tiang; 1 (satu) mengenai pendimensian saluran; 1 (satu) mengenai seleksi pengering (dryer); 1 (satu) mengenai pengurangan emisi CO<sub>2</sub> pada sektor tenaga listrik; 1 (satu) mengenai perancangan sistem pengamanan museum dengan kamera.

Selamat membaca.

Salam  
Redaksi

ISSN 0853-9723

Thn. XI No. 25, Mei 2001

JURNAL

# EMAS

SAINS DAN TEKNOLOGI FT UKI  
● ELEKTRO ● MESIN ● ARSITEKTUR ● SIPIL ●



FAKULTAS TEKNIK  
UNIVERSITAS KRISTEN INDONESIA  
JAKARTA

# PREDIKSI KAPASITAS TARIK PONDASI TIANG PANCANG BERDASARKAN UJI PEMBEBANAN TARIK DI LAPANGAN (STUDI KASUS DI SURABAYA)<sup>1</sup>

Lolom Evalita Hutabarat<sup>2</sup>

## ABSTRACT

*Foundation of some structures, such as transmission towers, off-shore platforms and basement mats below the water table, are subjected to uplifting forces. Driven piles are sometimes used for these foundations to resist the uplifting forces. Therefore it is important to predict the pullout resistance of piles from static analysis of shear strength parameters like cohesion (c) and internal friction angle (f) taken from laboratory testing, then examined with tension insitu loading test.*

## ABSTRAK

*Pondasi pada beberapa struktur seperti menara transmisi, konstruksi lepas pantai, ataupun basement yang berada di bawah muka air tanah, akan menerima beban tarik. Tiang pancang merupakan jenis pondasi yang sering digunakan untuk struktur tersebut, yang berfungsi untuk menahan beban tarik. Karena itu, penting sekali untuk memprediksi kapasitas tarik tiang berdasarkan analisis statik dari parameter kuat gesek tanah yaitu kohesi (c) dan sudut gesek dalam (f) yang didapatkan dari uji laboratorium, kemudian dilakukan uji pembebanan tarik di lapangan.*

## 1. PENDAHULUAN

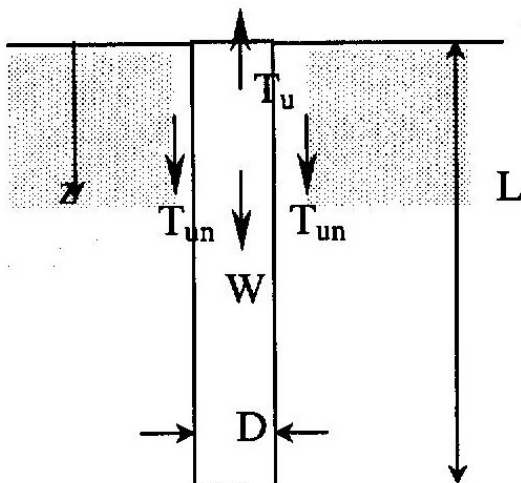
Tiang pancang sebagai pondasi pada struktur, dalam kondisi tertentu akan menerima beban tarik, sehingga dalam menentukan daya dukung tiang terhadap beban struktur perlu juga diprediksi kapasitas tarik pada tiang untuk menahan gaya angkat akibat tekanan air, angin, beban

gempa ataupun kondisi tanah ekspansif.

Saat ini studi tentang kapasitas tarik tiang masih sangat terbatas. Beberapa studi yang pernah dilakukan antara lain oleh Das and Seeley (1975) pada tanah pasir dan Das and Seeley (1982) pada tanah lempung jenuh, dengan persamaan secara umum sebagai berikut:

<sup>1</sup> Bagian dari Tesis S2 Program Pascasarjana Unpar, Bandung

<sup>2</sup> Dosen Jurusan Teknik Sipil FT-UKI, Jakarta



Gambar 1. Kapasitas tarik pondasi tiang

$$T_u = T + W_p \quad \dots(1)$$

dimana :

- $T_u$  = kapasitas tarik total
- $T$  = kapasitas tarik

Kapasitas tarik dari tiang sepenuhnya merupakan tahanan selimut tiang (*shaft resistant*) yang tentunya memberikan kontribusi  $T_{un}$  yang berbeda untuk setiap perlapisan tanah. Kendala yang dihadapi adalah data parameter tanah yang didapat umumnya tidak kontinu sehingga perlu justifikasi dalam menentukan parameter kuat geser tanah yang akan digunakan sebagaimana juga dilakukan untuk menentukan daya dukung aksial tiang HutaBarat, 2001)

Metode lain yang juga dapat digunakan untuk meningkatkan kapasitas tarik tiang adalah dengan memperbesar ujung bawah tiang seperti pada tiang bor dengan bentuk bel (*bellied drilled shaft*) atau diberikan injeksi bertekanan pada pondasi (*pressure injected footings*). Dalam menentukan tambahan kapasitas tarik yang terjadi, O'Neill (1987)

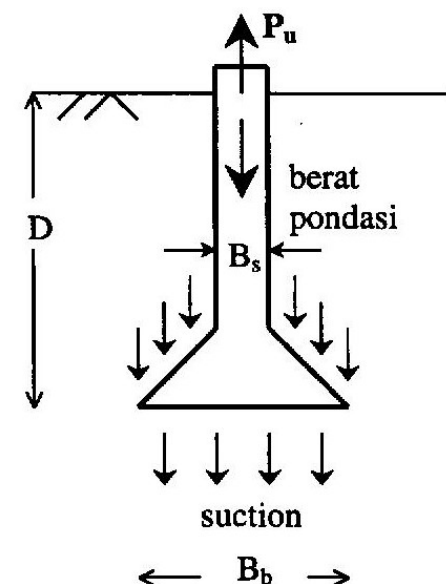
menyarankan formula sebagai berikut khusus untuk tanah lempung:

$$P_{ub} = (s_u \cdot N_u + \sigma_D)(\pi/4)(B_b^2 - B_s^2) \quad \dots(2)$$

$$N_u = 2(D/B_b - 0,5) \leq 9 \quad \dots(3)$$

dimana :

- $P_{ub}$  = kapasitas tarik yang diberikan oleh perbesaran ujung bawah tiang
- $s_u$  = kuat geser tanah tak terdrainase diatas dasar ujung bawah tiang
- $\sigma_D$  = tegangan total pada dasar tiang
- $B_b$  = diameter dasar tiang yang diperbesar
- $B_s$  = diameter selimut tiang



Gambar 2. Tiang dengan dasar yang diperbesar

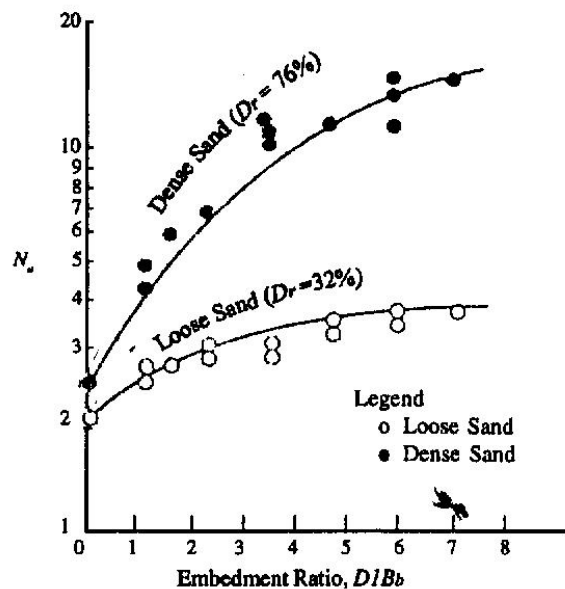
Sedangkan untuk tanah pasir, Dickin & Leung (1990) menyarankan sebagai berikut:

$$P_{au} = 0,9 w_f + \frac{N_u \cdot \sigma_D \cdot A_b}{FK} \quad \dots(4)$$

dimana :

- $P_{au}$  = kapasitas tarik ijin
- $w_f$  = berat pondasi (diperhitungkan juga efek bouyancy)
- $N_u$  = faktor breakout (Gambar 3)

- $\sigma'_D$  = tegangan vertikal efektif pada dasar pondasi  
 $A_b$  = luas penampang dasar tiang yang diperbesar  
 FK = faktor keamanan



Gambar 3. Faktor breakout ( $N_u$ )

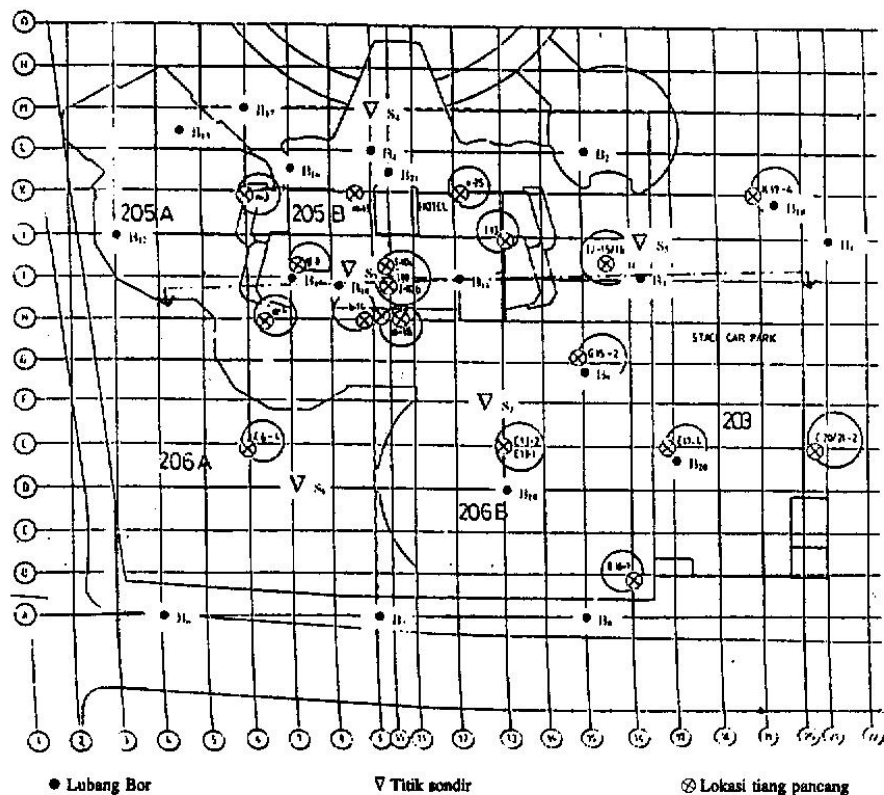
Studi lebih lanjut tentang perbesaran dasar tiang pada tanah pasir dapat dilihat pada jurnal EMAS No.17, 1999.

## 2. TUJUAN PENELITIAN

Penelitian ini bertujuan untuk memprediksi kapasitas tarik pondasi tiang dengan metode statik yang ada serta membandingkan dengan uji tarik di lapangan dengan mengambil studi kasus pada proyek di daerah Tunjungan - Surabaya.

## 3. DESKRIPSI LOKASI PROYEK

Penyelidikan tanah yang telah dilakukan meliputi uji lapangan dan uji laboratorium. Stratifikasi tanah di lokasi tersebut dapat dilihat dari 25 bor log dengan kedalaman 25-40 m. Selain itu juga dilakukan uji pembebanan tarik di lapangan dengan cara statik sebanyak 2 buah.



Gambar 4. Lokasi uji lapangan

Secara keseluruhan, kondisi tanah pada proyek ini dapat dibagi atas 4 perlapisan tanah (gbr 4), yaitu:

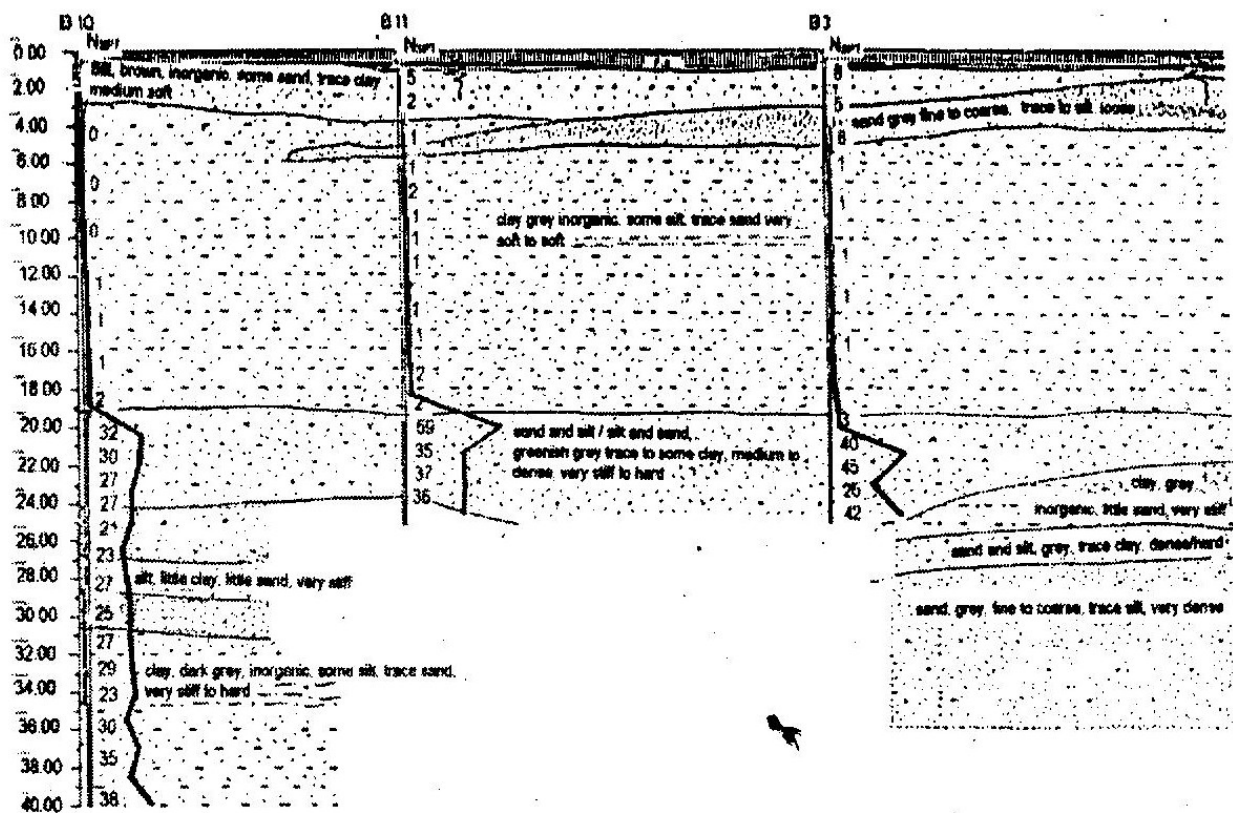
- Pada bagian permukaan sampai kedalaman -4.0 m merupakan tanah lanau kepasiran dengan konsistensi soft sampai medium.
- Dilanjutkan dengan tanah lempung berplastisitas tinggi dengan konsistensi very soft sampai dengan -19.0 m dari permukaan tanah.
- Sedangkan dari kedalaman -19.0 m sampai kedalaman -27.0 m dijumpai tanah pasir dengan konsistensi medium sampai padat.
- Sampai akhir lubang bor (-40.0 m)

merupakan tanah lempung dengan konsistensi stiff sampai very stiff.

#### 4. PARAMETER DESAIN

Kondisi tanah yang tidak homogen sepanjang tiang memberikan nilai  $\phi$  dan  $c$  yang bervariasi terhadap kedalaman. Dengan demikian perlu dibuat suatu grafik hubungan antara parameter hasil uji laboratorium yang didapat terhadap kedalaman, sehingga dapat terlihat apakah grafik tersebut menunjukkan korelasi tertentu.

Hasil dari studi korelasi parameter tanah tersebut dapat dilihat pada tabel berikut:



Gambar 5. Profil tanah dari lubang bor

Tabel 1. Parameter desain kuat geser tanah

J <sub>13</sub>	B <sub>3</sub>	0.60	-	0.13	-	-	36
E <sub>17-4</sub>	B <sub>8</sub>	0.17	-	0.13	-	-	37
I <sub>15-16</sub>	B <sub>3</sub>	0.50	-	0.13	-	-	36
I <sub>10</sub>	B <sub>10</sub> / B <sub>11</sub>	0.42	-	0.13	-	-	33
B <sub>14</sub>	B <sub>10</sub>	0.42	-	0.13	-	-	33
A <sub>18</sub>	B <sub>10</sub>	0.42	-	0.13	-	-	33
E <sub>6-4</sub>	B <sub>6</sub>	0.42	-	0.13	-	-	33.5
B <sub>16-1</sub>	B <sub>8</sub>	0.50	-	0.13	-	-	37

## 5. KAPASITAS TARIK PONDASI TIANG

### 5.1. Pada Tanah Lempung

$$T = L' p' \alpha' c_u \quad \dots (5)$$

dimana:

L' = panjang tiang

p' = keliling tiang

$\alpha'$  = faktor koreksi untuk tarik (tabel 2.6)

c<sub>u</sub> = kohesi tanah

### 5.2. Pada Tanah Pasir

$$T = \int_0^L (K_u \cdot \sigma_v' \tan \delta \cdot p) dz \quad \dots (6)$$

dimana:

K<sub>u</sub> = koefisien tarik

$\sigma_v'$  = tegangan vertikal efektif

$\delta$  = sudut geser antara tiang & tanah

p = keliling tiang

Bila L < L<sub>cr</sub>,

$$T = \frac{1}{2} p \cdot \gamma \cdot L^2 \cdot K_u \cdot \tan \delta \quad \dots (7)$$

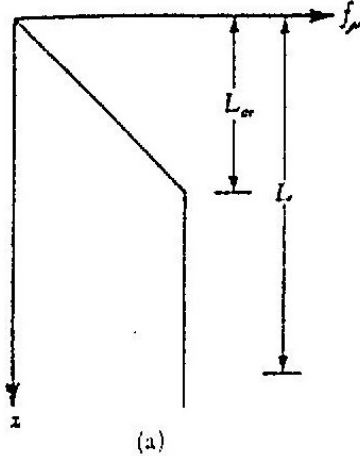
Bila L > L<sub>cr</sub>,

$$T = \frac{1}{2} p \gamma L_{cr}^2 K_u \tan \delta + p \gamma L_{cr} K_u \tan \delta (L - L_{cr}) \quad \dots (8)$$

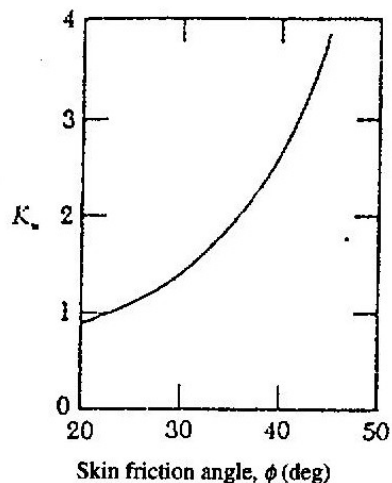
Nilai K<sub>u</sub> dan  $\delta$  dapat ditentukan dari grafik berikut:

Tabel 2. Faktor adhesi untuk kapasitas tarik

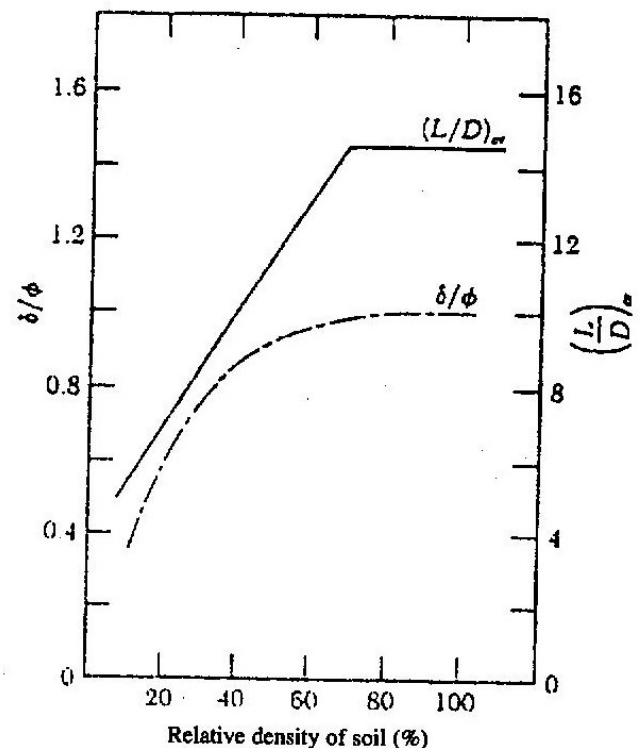
Tiang bor	$\alpha' = 0.9 - 0.00625 c_u$ utk $c_u \leq 80$ kPa $\alpha' = 0.4$ utk $c_u > 80$ kPa
Tiang pipa	$\alpha' = 0.715 - 0.0191 c_u$ utk $c_u \leq 27$ kPa $\alpha' = 0.2$ utk $c_u > 27$ kPa



Gambar 6. Kedalaman kristis



Gambar 7. Koefisien tarik tiang



Gambar 8. Variasi  $\delta/\phi$  dan  $(L/D)_{cr}$  dgn  $D_r$

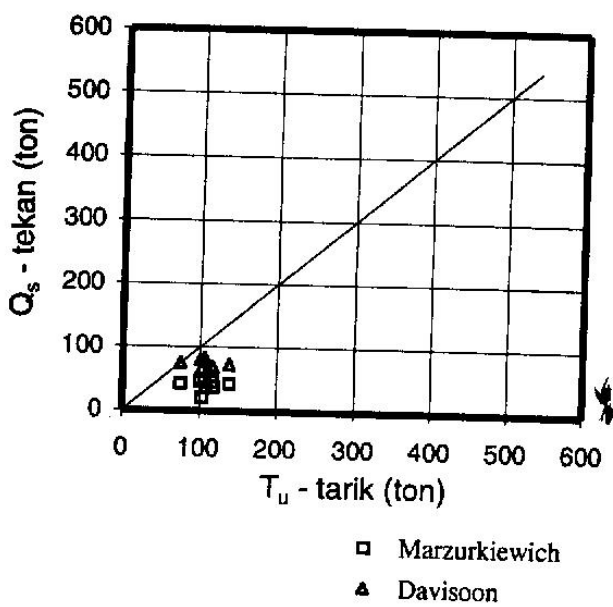
## 6. HASIL ANALISIS

Berdasarkan data hasil uji tarik langsung lapangan pada tiang  $I_{10a}$  dan  $I_{10a}$  dengan menggunakan metode Mazurkiewich dan Davisson, didapatkan hasil sebagai berikut:

	$J_{13}$	27	116	-	-	45	70
E <sub>17-4</sub>	27	117	-	-	-	37	68
I <sub>15-16</sub>	29	138	-	-	-	42	73
I <sub>10</sub>	27	100	-	-	-	46	80
B <sub>14</sub>	27	106	-	-	-	45	83
A <sub>18</sub>	25	75	-	-	-	42	76
E <sub>6-4</sub>	29	103	-	-	-	21	66
B <sub>16-1</sub>	26	108	-	-	-	36	79
I <sub>10a</sub>	26	-	85	100	-	-	-
I <sub>10b</sub>	26	-	75	95	-	-	-

Tabel 3. Tabulasi perhitungan kapasitas tarik tiang terhadap beban tarik

Untuk kapasitas tarik, hasil yang diberikan oleh formula Das & Seeley untuk tanah lempung dan pasir cukup akurat jika dibandingkan dengan kapasitas tarik aktual berdasarkan uji pembebanan tarik yaitu sekitar 100 ton. Besarnya perlawanan selimut tiang terhadap beban tarik ini sedikit lebih besar dibandingkan dengan tahanan selimut tiang terhadap beban tekan yaitu sekitar 80 ton berdasarkan analisis statik dari korelasi empirik dan parameter tanah. Ini menunjukkan karakteristik tanah lempung terhadap beban tarik dan beban tekan seperti terlihat pada Gb. 9.



Gambar 9. Hubungan  $Q_u$  tekan &  $Q_u$  tarik

Faktor adhesi tiang dengan tanah ( $\alpha$ ) yang diberikan oleh Tomlinson dalam perhitungan beban tekan berkisar antara 0.2-1.0 dimana semakin besar kohesi tanah maka adhesinya akan makin mengecil. Sedangkan pada beban tarik, adhesi tiang dengan tanah menurut Seed & Seeley hanya berkisar antara 0.1-0.2.

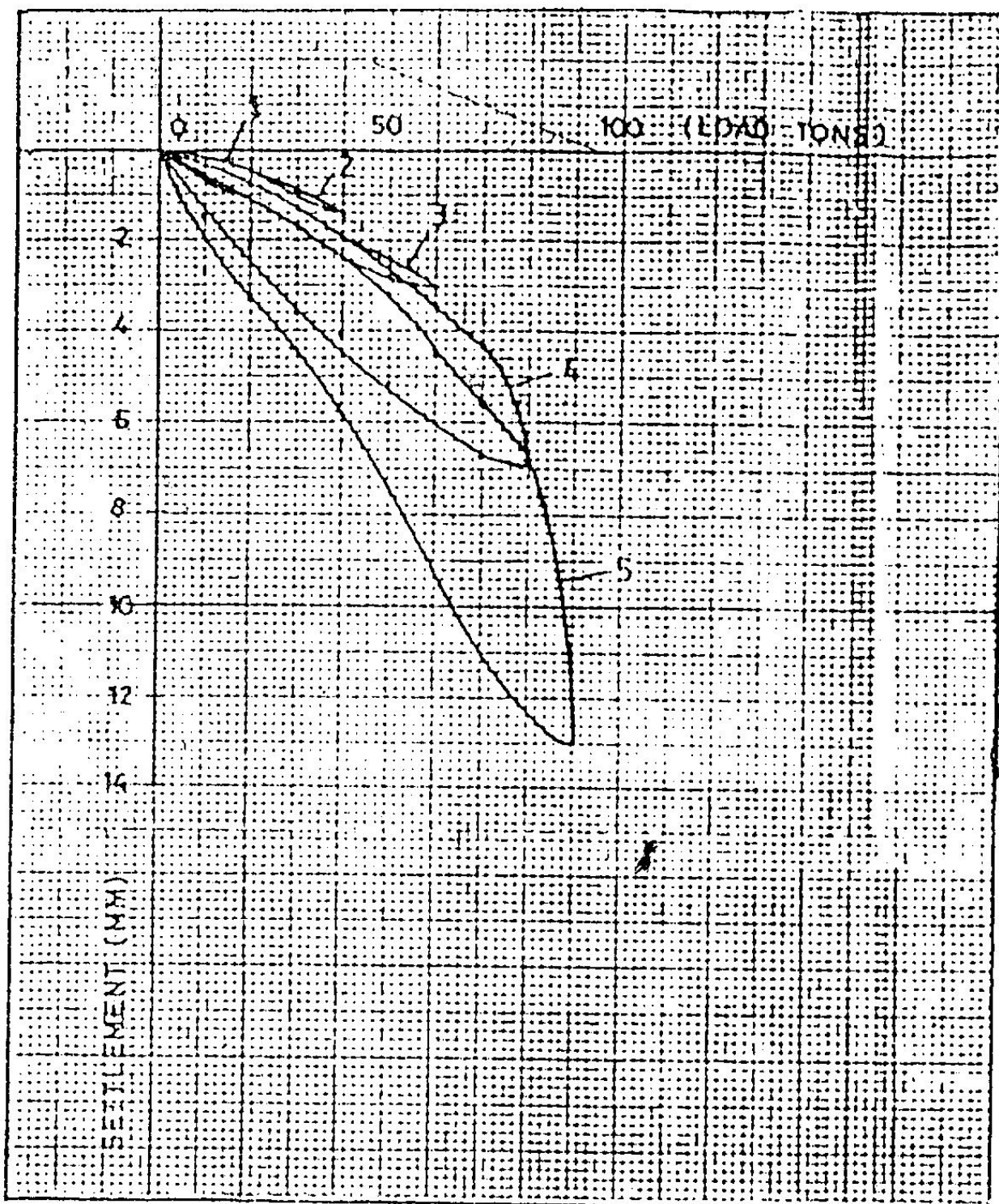
## 7. KESIMPULAN DAN SARAN

- a. Hasil prediksi kapasitas tarik tiang pancang secara analitis cukup mendekati hasil uji tarik di lapangan yaitu sekitar 100 ton
- b. Kapasitas tarik pondasi tiang pancang sedikit lebih besar dari tahanan selimut tiang menerima beban tekan aksial
- c. Adhesi antara tanah dan tiang semakin kecil jika kohesi tanah semakin besar

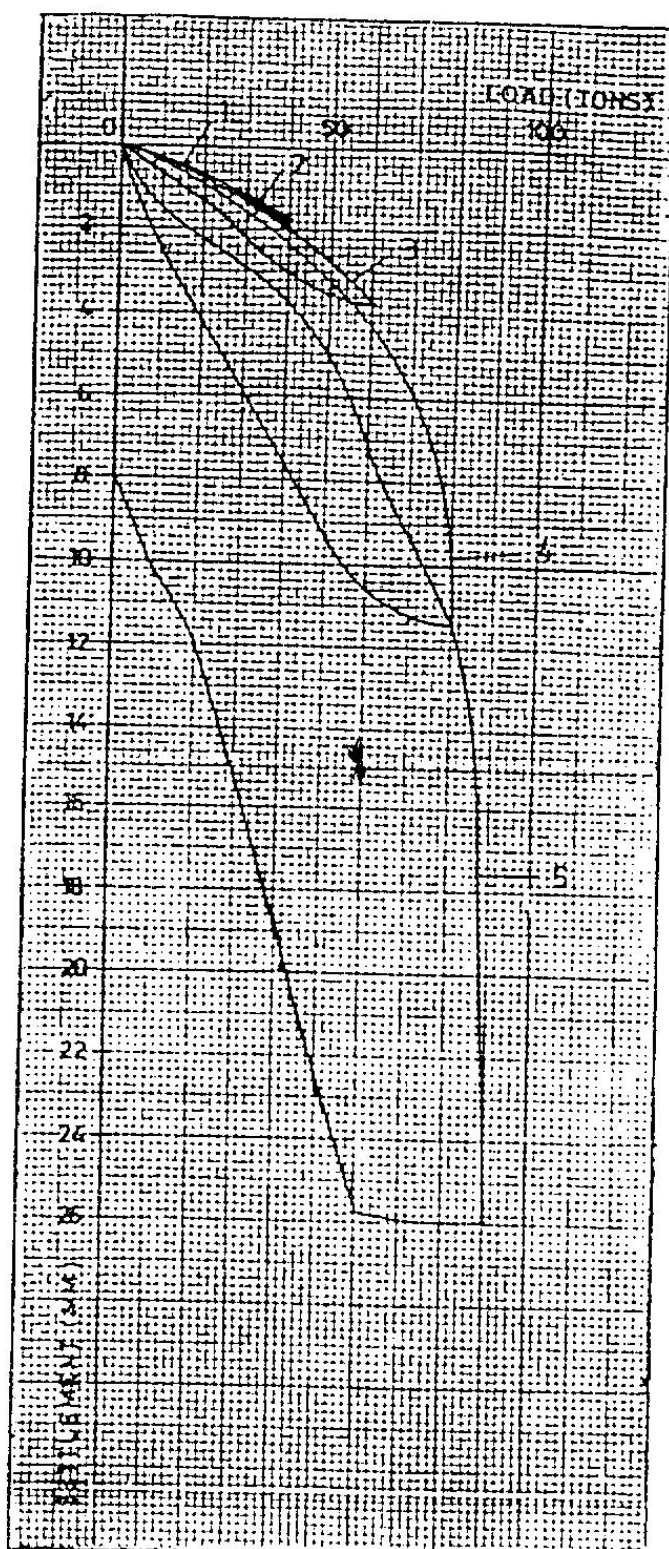
## DAFTAR PUSTAKA

- Bowles, J.E.** (1988), *Foundation Analysis and Design*, 4th edition, Mc Graw Hill Co., Illinois
- Coduto, D.P.** (1994), *Foundation Design Principles and Practises*, Prentice Hall Inc., New Jersey
- Das, B.M.** (1990), *Principles of Foundation Engineering*, 2nd edition, PWS-Kent Publishing Co., Boston
- Hutabarat, L.E** (1999), Pengaruh Perbesaran Ujung Model Tiang Bawang Terhadap Peningkatan Daya Dukung Pondasi Tiang Pada Tanah Pasir Halus Dengan Beberapa Kepadatan, Jurnal EMAS No. 17 Fakultas Teknik UKI, Jakarta
- Hutabarat, L.E** (2000), Studi Perilaku Tiang Pancang Berdasarkan Hasil Uji Statik dan Dinamik (PDA), Thesis S-2 Pascasarjana Unpar, Bandung.
- Hutabarat, L.E** (2001), Daya Dukung Disain Pondasi Tiang Pancang Berdasarkan Analisis Peralihan Beban, Jurnal EMAS No. 24 Fakultas Teknik UKI, Jakarta

## LAMPIRAN HASIL UJI PEMBEBANAN TARIK TIANG



Gambar 10. Grafik beban vs penurunan pada uji pembebanan tarik Tiang Pancang I<sub>10</sub>.

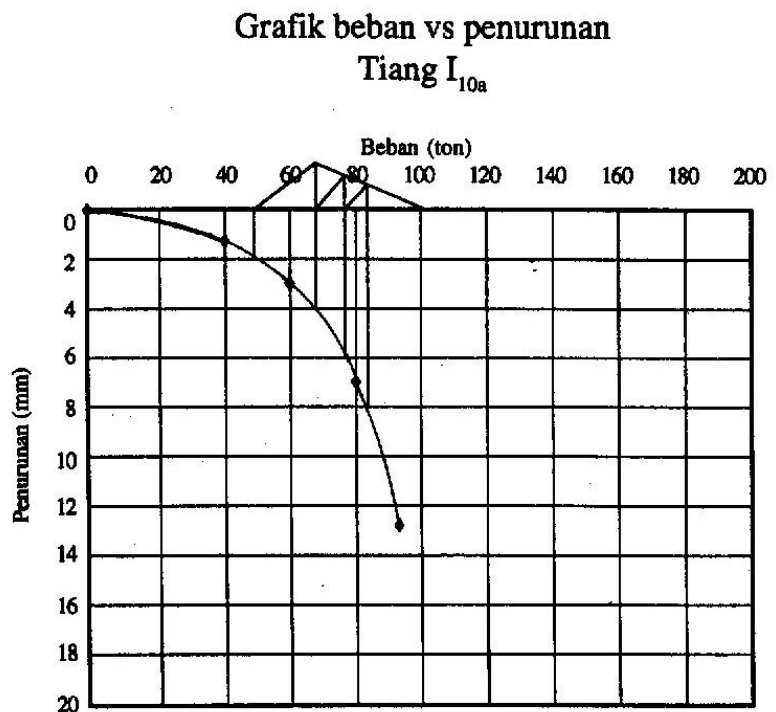


Gambar 11. Grafik beban vs penurunan pada uji pembebanan tarik Tiang Pancang  $I_{16}$

## LAMPIRAN PREDIKSI DAYA DUKUNG TARIK TIANG DENGAN METODE MAZURKIEWICH

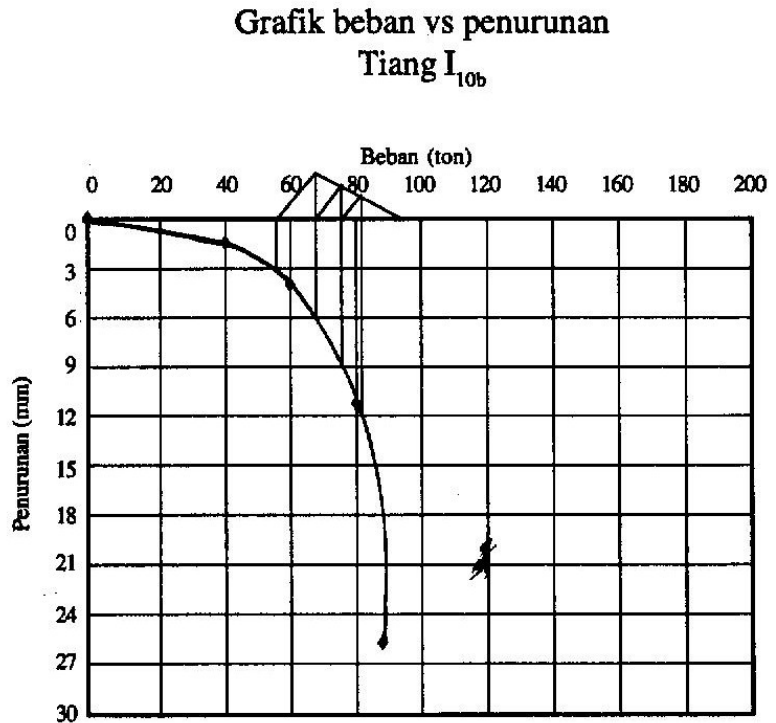
No. Tiang :  $I_{10a}$   
 Panjang (D) : 26 m  
 Diameter (B) : 0.5 m

Beban (ton)	s (mm)
0	0.0
40	1.4
60	3.0
80	7.0
90	13.0



No. Tiang :  $I_{10b}$   
 Panjang (D) : 26 m  
 Diameter (B) : 0.5 m

Beban (ton)	s (mm)
0	0.0
40	1.8
60	3.8
80	11.4
90	26.0



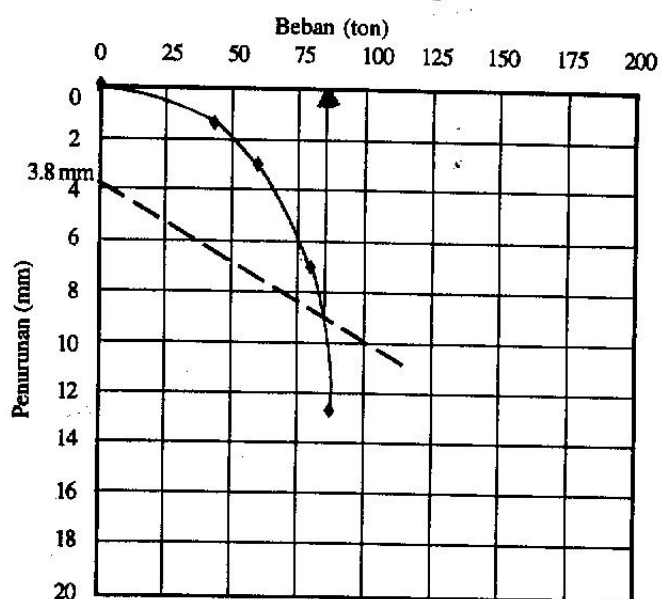
## LAMPIRAN PREDIKSI DAYA DUKUNG TARIK TIANG DENGAN METODE DAVISSON

No. Tiang :  $I_{10a}$   
 Panjang (D) : 26000 mm  
 Diameter (B) : 500 mm  
 Lebar acuan ( $B_r$ ) : 300 mm  
 Luas Penampang (A) :  $196350 \text{ mm}^2$   
 Mod. Elastis (E) : 2.1 ton/mm<sup>2</sup>  
 $0.012 B_r + 0.1 B/B_r$  : 3.8 mm

Beban (ton)	s (mm)	$(P*D)/(A*E)$
0	0.0	3.8
40	1.4	6.29
60	3.0	7.55
80	7.0	8.81
90	13.0	9.44

Grafik beban vs penurunan

Tiang  $I_{10a}$



No. Tiang :  $I_{10b}$   
 Panjang (D) : 26000 mm  
 Diameter (B) : 500 mm  
 Lebar acuan ( $B_r$ ) : 300 mm  
 Luas Penampang (A) :  $196350 \text{ mm}^2$   
 Mod. Elastis (E) : 2.1 ton/mm<sup>2</sup>  
 $0.012 B_r + 0.1 B/B_r$  : 3.8 mm

Beban (ton)	s (mm)	$(P*D)/(A*E)$
0	0.0	3.8
40	1.8	6.29
60	3.8	7.55
80	11.4	8.81
90	26.0	9.44

Grafik beban vs penurungan

Tiang  $I_{10b}$

